

Фильтрация изображений

к.ф.-м.н. А.Т. Вахитов

кафедра системного программирования,
СПбГУ

November 1, 2011

Усреднение

Домножим изображение на матрицу:

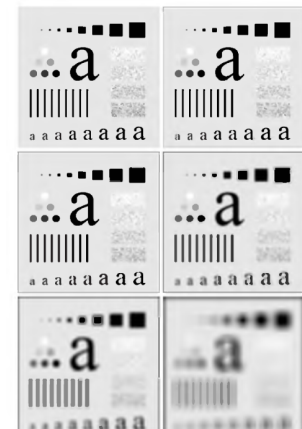
$$M_1 = \frac{1}{9} \begin{pmatrix} 1 & 1 & 1 \\ 1 & 1 & 1 \\ 1 & 1 & 1 \end{pmatrix} \quad M_2 = \frac{1}{16} \begin{pmatrix} 1 & 2 & 1 \\ 2 & 4 & 2 \\ 1 & 2 & 1 \end{pmatrix}$$

- box-фильтр
- взвешенное среднее

Общий случай

$$g(x, y) = \frac{\sum_{s=-a}^a \sum_{t=-b}^b w(s, t) f(x + s, y + t)}{\sum_{s=-a}^a \sum_{t=-b}^b w(s, t)}$$

Вох-фильтр разного размера



Бок-фильтр

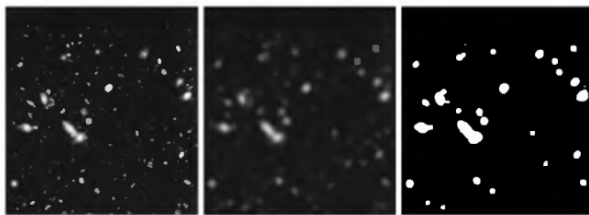


Figure: Выделение наиболее ярких объектов на снимке с телескопа Hubble, NASA

Медиана

Нелинейный фильтр: элементы окрестности пикселя сортируются, пиксель заменяется на средний элемент последовательности

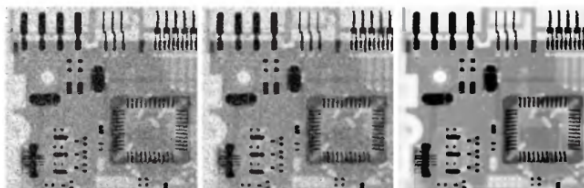


Figure: Исходное изображение, усреднение с маской 3 на 3, фильтрация медианным фильтром с окном 3 на 3, J. Pascente, Lixi, Inc.

Производные изображения

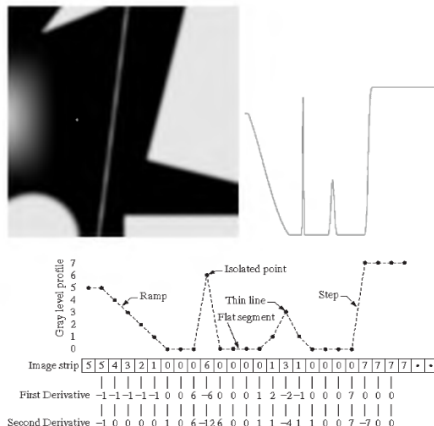


Figure: R. Gonzales, R. Woods, Digital Image Processing

Оператор Лапласа

$$\nabla^2 f = \frac{\partial^2 f}{\partial x^2} + \frac{\partial^2 f}{\partial y^2}$$

$$\frac{\partial^2 f}{\partial x^2} = f(x+1, y) + f(x-1, y) - 2f(x, y)$$

$$\nabla^2 f = f(x+1, y) + f(x-1, y) + f(x, y+1) + f(x, y-1) - 4f(x, y)$$

Реализации оператора Лапласа: изотропная для поворотов 90°, 45°, отрицание

0	1	0
1	-4	1
0	1	0
1	1	1
0	-1	0
-1	4	-1
0	-1	0
-1	-1	-1
-1	8	-1
-1	-1	-1

Figure: R. Gonzales, R. Woods, Digital Image Processing

Повышение резкости с помощью оператора Лапласа

$$g(x, y) = f(x, y) - \nabla^2 f(x, y)$$

Повышение резкости с помощью оператора Лапласа (2)

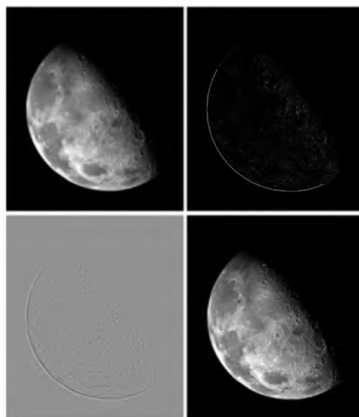


Figure: R. Gonzales, R. Woods, Digital Image Processing

Повышение резкости с помощью оператора Лапласа, реализации

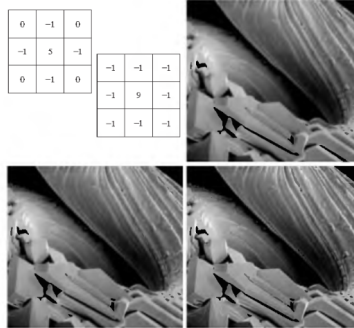


Figure: R. Gonzales, R. Woods, Digital Image Processing

Повышение резкости с помощью вычитания смазанного изображения

Unsharp masking:

$$f_S(x, y) = f(x, y) - \bar{f}(x, y)$$

Boost filtering:

$$f_S(x, y) = Af(x, y) - \bar{f}(x, y),$$

где A - коэффициент, $\bar{f}(x, y)$ - усредненное изображение

Повышение резкости с помощью вычитания смазанного изображения: пример

a b
c d

FIGURE 3.43
(a) Same as Fig. 3.41(c), but darker.
(a) Laplacian of (a) computed with the mask in Fig. 3.42(b) using $A = 0$.
(c) Laplacian enhanced image using the mask in Fig. 3.42(b) with $A = 1$. (d) Same as (c), but using $A = 1.7$.

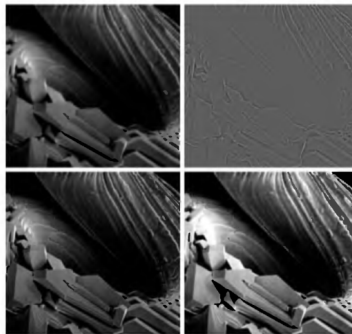
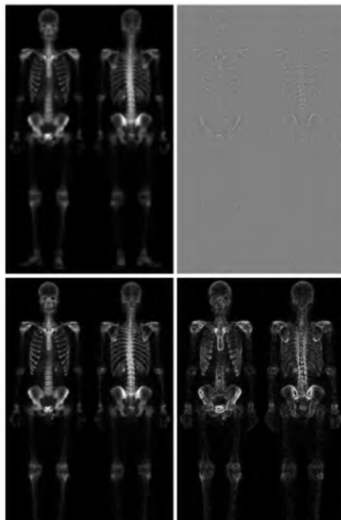


Figure: R. Gonzales, R. Woods, Digital Image Processing

Повышение качества медицинского изображения

a b
c d

FIGURE 3.46
(a) Image of
whole body bone
scan.
(b) Laplacian of
(a). (c) Sharpened
image obtained
by adding (a) and
(b). (d) Sobel of
(a).



Повышение качества медицинского изображения(2)

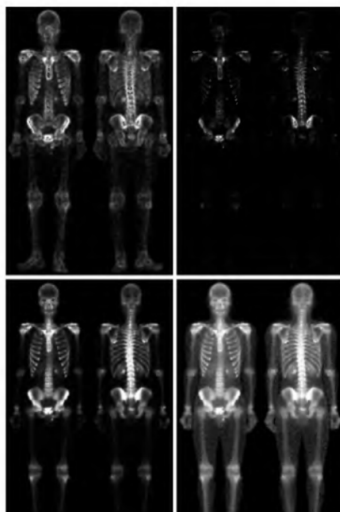


FIGURE 3.46
(Continued)
(e) Sobel image smoothed with a 3×3 averaging filter. (f) Mask image formed by the product of (c) and (e).
(g) Sharpened image obtained by the sum of (a) and (f). (h) Final result obtained by applying a power-law transformation to (g). Compare (g) and (h) with (a). (Original image courtesy of G.E. Medical Systems.)